

УДК 621.373 : 535. (206.2)

**ИССЛЕДОВАНИЕ УСИЛЕНИЯ  
И НАВЕДЕНОГО ПОГЛОЩЕНИЯ  
ОРГАНОЛЮМИНОФОРОВ В ЗАВИСИМОСТИ  
ОТ ИХ СТРУКТУРНЫХ ОСОБЕННОСТЕЙ**

A. B. Аристов и Ю. С. Маслюков

Определены основные, влияющие на усиливательные свойства растворов, спектрально-люминесцентные характеристики некоторых родаминовых красителей и 3,6-производных N-метилфталимида. С помощью этих характеристик установлены некоторые закономерности в поведении коэффициента усиления в среде при изменениях в структуре вещества. Показана роль внутренней и интеркомбинационных конверсий в снижении величины коэффициента усиления.

В статье приведены результаты исследования наведенного пропускания этанольных растворов родаминов (*P*) и 3,6-производных N-метилфталимида (NMФ).

Измерение наведенного пропускания проводилось на установке, приведенной в [1].

Согласно [1], величина наведенного пропускания может быть представлена формулой<sup>1</sup>

$$\Delta K = K_{\text{н.yc.}} - K_{\text{н.пог.}} = n_{\text{фл.}} \sigma_{\text{yc.}} - n_{\text{фл.}} \Gamma_{ST} \sigma_{TT} \tau_{\text{тр.}}, \quad (1)$$

$$\sigma_{\text{yc.}} = \sigma_{\text{yc.}}^{\text{T}} - \sigma_{S_1 S_n}, \quad (2)$$

где  $K_{\text{н.yc.}}$  — коэффициент наведенного усиления,  $K_{\text{н.пог.}}$  — коэффициент наведенного поглощения,  $n_{\text{фл.}}$  — заселенность флуоресцентного состояния,  $\sigma_{\text{yc.}}$  — реальное значение сечения усиления,  $\sigma_{\text{yc.}}^{\text{T}}$  — теоретическое значение сечения усиления, рассчитанное на основании спектрально-люминесцентных характеристик,  $\sigma_{S_1 S_n}$  — сечение поглощения из возбужденного синглетного состояния ( $S_1 \rightarrow S_n$ ),  $\Gamma_{ST}$  — вероятность  $S_1 \rightarrow T_1$ -перехода,  $\sigma_{TT}$  — сечение  $T_1 \rightarrow T_n$ -поглощения,  $\tau_{\text{тр.}}$  — время жизни триплетного состояния.

Уравнение (1) может быть преобразовано и приведено к виду

$$\Delta K = C_0 \left\{ 1 - \left[ (1 - \gamma\eta) + \varphi \frac{\sigma_{TT} \tau_{\text{тр.}}}{\sigma_{\text{yc.}}^{\text{T}} \tau_0} \right] \right\}, \quad (3)$$

где  $C_0$  — экспериментальная константа, зависящая от интенсивности возбуждения,  $\eta$  — квантовый выход флуоресценции,  $\varphi$  — квантовый выход в триплетное состояние,  $\tau_0$  — радиационное время жизни флуоресцентного состояния,

$$\gamma = \frac{\tau_0 \sigma_{\text{yc.}}}{\tau_0^{\text{B}} \sigma_{\text{yc.}}^{\text{B}}}.$$

<sup>1</sup> В случае, если фронт импульса накачки  $\Delta t_{\phi} \gg \tau_{\text{тр.}}$  и в предположении о наличии только  $T_1 \rightarrow T_n$ -поглощений. При проведении экспериментов были приняты меры, чтобы уменьшить влияние других видов наведенных поглощений.

Здесь  $\tau_0^{\text{в}}$  и  $\sigma_{\text{yc.}}^{\text{в}}$  характеризуют произвольно выбранное вещество в ряду исследуемых, для которых наименьшее значение  $\tau_0^{\text{в}}$ .

Следует подчеркнуть, что величины  $(1 - \gamma\eta)$  и  $\varphi_{TT} \tau_{\text{tp.}} / \sigma_{\text{yc.}}^{\text{в}} \tau_0^{\text{в}}$  приводят к уменьшению величины коэффициента наведенного пропускания вследствие существования внутренней и интеркомбинационной конверсий.

Уравнение (3) было применено нами для необескислорожденных растворов, так как в этом случае соблюдалось условие  $\Delta t_{\Phi} \gg \tau_{\text{tp.}}$ . Из формулы (3) следует, что для определения изменения величины  $\Delta K$  в ряду исследуемых нами родаминов и фталимидов необходимо располагать сведениями о численных значениях входящих в нее спектрально-люминесцентных параметров.

Ниже приведены условия и методики определения этих величин.

Сечения  $T_1 \rightarrow T_n$ -поглощения определялись в обескислорожденных растворах в условиях лампового импульсного возбуждения для родаминовых красителей по методу просветления раствора в первой полосе поглощения [2], а для 3,6-производных НМФ с привлечением методики  $T \rightarrow T$ -переноса, аналогичной приведенной в работе [3].

Время жизни триплетного состояния в необескислорожденных растворах оценивалось по методике лазерной модуляции добротности [4] и составило в среднем величину 0.25 мкс для всех исследуемых этианольных растворов.

Сечение реального усиления  $\sigma_{\text{yc.}}$  рассчитывалось после определения величин  $n_{\Phi, \text{л.}}$  и  $K_{n, \text{yc.}}$ .

Заселенность флуоресцентного состояния  $n_{\Phi, \text{л.}}$  определялась путем сравнения квантовой интенсивности импульсов флуоресценции раствора

#### Спектрально-люминесцентные характеристики родаминовых красителей и 3,6-производных НМФ

№ вещества	Соединение	$\lambda_{\text{MAX.}}, \text{ см}^{-1}$	$\Delta \nu_{\Phi, \text{л.}}, \text{ см}^{-1}$	$\tau_{\Phi, \text{л.}}, \text{ нс}$	$\eta, \%$	$\varphi, \%$	$Q, \%$	$\sigma_{TT} \cdot 10^7, \text{ см}^2$	$\gamma$
Родаминовые красители (Р)									
1	$N,N'$ -бис-пентаметилен-Р	17100	1400	2.35	45	0.29	55	3.7	1.06
2	$N,N'$ -бис-гексаметилен-Р	17200	1400	—	36	0.47	64	3.4	—
3	Родамин В	17400	1200	3.35	61	0.57	39	4.2	1.22
4	Родамин ЗВ	17500	1300	3.40	68	0.47	32	4.0	1.00
5	Родамин 6Ж	18150	1300	4.45	88	0.97	11	5.3	0.90
6	$N,N'$ -диэтил-Р	18200	1200	—	90	1.34	8	5.7	—
7	$N,N'$ -дигутил-Р	18200	1300	—	100	2.70	0	3.7	—
8	$N,N'$ -ди( $\beta$ -фенилэтил)-Р	18200	1500	4.3	100	3.20	0	4.4	0.89
9	$N,N'$ -дигензил-Р	18500	1500	4.5	90	2.70	7	4.7	0.97
10	Незамещенный Р	18900	1200	4.4	88	2.0	10	3.7	1.17
3,6-Производные $N$ -метилфталимида (НМФ)									
11	3-Диметиламино-6-метиламино-НМФ	17100	2600	6.8	18	2.2	80	4.65	1.41
12	3,6-Ди(метиламино)НМФ	17100	2500	6.6	20	4.2	76	3.3	1.46
13	3,6-тетраметилдiamино-НМФ	17200	2600	7.3	18	3.0	79	4.3	1.38
14	3-Диметиламино-6-амино-НМФ	17700	3000	4.7	12	2.5	84	3.1	1.12
15	3-Метиламино-6-амино-НМФ	17700	2900	8.8	35	5.5	59	2.4	1.47
16	3,6-Диамино-НМФ	18600 *	3000	11.0 *	46 *	4.6	50	3.7	1.0
17	3,6-Ди(метилацетиламино)-НМФ	18700	3200	7.7	22	4.1	74	1.8	0.94
18	3-Ацетиламино-6-амино-НМФ	19500 *	3100	14.4 *	68	4.9	27	2.3	0.90
19	3-Метилацетиламино-6-амино-НМФ	19700	3400	9.9	65	5.6	29	6.3	0.80
20	3-Метилацетиламино-6-ацетиламино-НМФ	20900	4000	16.4	33	13.0	54	3.9	0.60
21	3,6-Ди(ацетиламино)-НМФ	21400 *	3400	11.3	62	8.6	30	5.2	0.68

\* Эти сведения приведены в работе [10].

исследуемого вещества и раствора родамина 6Ж в условиях накачки, применяющейся при измерении  $K_{n.yc.}$ . Спектральные участки люминесценции при этом выбирались так, чтобы практически полностью исключить влияние перепоглощения.

Заселенность флуоресцентного состояния родамина 6Ж вычислялась по формуле  $n_{\text{фл.}} = K_{n.yc.} / \sigma_{yc.}$ . Предполагалось, что сечение реального усиления равно величине сечения усиления  $\sigma_{yc.}^t$ . Это предположение находится в хорошем согласии с измерениями эффективности преобразования в вынужденное излучение в работе Г<sup>5</sup>]. Коэффициент наведенного усиления обескислорожденных растворов в максимуме импульса накачки ( $K_{n.yc.}^0$ ) определялся по формуле

$$K_{n.yc.}^0 = \Delta K_1 + \frac{\Delta K_2}{\beta}, \quad (4)$$

где  $\Delta K_1$  — величина наведенного пропускания в обескислорожденных растворах, измеренная в момент достижения импульсом накачки своего максимального значения;  $\Delta K_2$  — величина наведенного пропускания в обескислорожденных растворах, измеренная сразу после окончания импульса накачки;  $\beta$  — экспериментальная константа.

Величина выхода в триплетное состояние в необескислорожденных растворах  $\varphi$  рассчитывалась по формуле

$$\varphi = \frac{\left( \frac{\eta}{\eta_0} K_{n.yc.}^0 - \Delta K \right) \tau_{\text{фл.}}}{n_{\text{фл.}} \sigma_{Tt} \tau_{\text{тр.}}}, \quad (5)$$

где  $\eta$  и  $\eta_0$  — квантовые выходы флуоресценции соответственно в необескислорожденных и обескислорожденных растворах, а величины  $\Delta K$ ,  $n_{\text{фл.}}$ ,  $\tau_{\text{фл.}}$  определялись в необескислорожденных растворах.

Исследуемые соединения и их основные спектрально-люминесцентные характеристики представлены в таблице. В таблице, помимо ранее упомянутых величин, содержатся частоты максимумов ( $\nu_{\text{фл.}}^{\text{макс.}}$ ) и полуширины ( $\Delta \nu_{\text{фл.}}$ ) спектров флуоресценции, времена жизни флуоресцентных состояний ( $\tau_{\text{фл.}}$ ) и квантовые выходы внутренней ( $S_1 \rightarrow S_0$ ) конверсии ( $Q$ ).<sup>2</sup>

Приведенные в таблице и применяющиеся в формуле (3) сечения поглощения и усиления относятся к спектральным участкам, где  $\sigma_{yc.} = 0.5 \text{ см}^{-1}$  у родаминов и соответствуют максимуму спектра  $\sigma_{yc.}$  для фталимидов.

Вещества в таблице расположены в основном в порядке возрастания частоты максимума флуоресценции.

Рассмотрим подробно поведение величины наведенного пропускания для исследуемых соединений.

На рис. 1 и 2 представлены зависимости, отражающие характер изменения величин, входящих в формулу (3) в ряду родаминовых соединений и 3,6-производных НМФ соответственно. Нумерация веществ соответствует табличной.

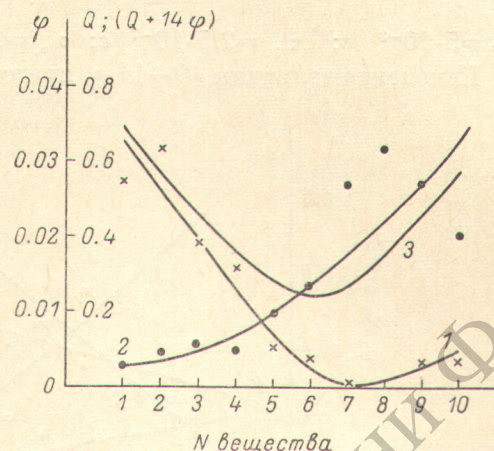


Рис. 1. Изменение квантовых выходов внутренней конверсии  $Q$  (1) перехода в триплетное состояние  $\varphi$  (2) и функции  $(Q+14\varphi)$  (3) в ряду родаминов 1–10 (см. таблицу).

<sup>2</sup> Численные значения  $\nu_{\text{фл.}}^{\text{макс.}}$ ,  $\Delta\nu_{\text{фл.}}$ ,  $\tau_{\text{фл.}}$  и  $\eta$  для родаминовых красителей приведены в работе [6].

Из рис. 1 следует, что при переходе от вещества к веществу для родаминовых соединений наиболее сильно изменяются величины  $\eta$ ,  $Q$ ,  $\varphi$ , в то время как для остальных величин, входящих в (3), значительных различий не наблюдается.

При подстановке в (3) средних значений  $\tau_0$ ,  $\tau_{\text{тр.}}$ ,  $\sigma_{\gamma c.}$ ,  $\sigma_{TT}$  и учете, что средняя величина  $\gamma$  близка к единице (см. таблицу), а  $1 - \eta \approx Q$ , формула может быть упрощена до вида

$$\Delta K = C_0 [1 - (Q + 14\varphi)] \quad (6)$$

( $\tau_0 = 5 \cdot 10^{-9}$  с;  $\tau_{\text{тр.}} = 2.5 \cdot 10^{-7}$  с;  $\sigma_{\gamma c.} = 1.5 \cdot 10^{-16}$  см<sup>2</sup>;  $\sigma_{TT} = 4 \cdot 10^{-17}$  см<sup>2</sup>).

Изменение величины  $(Q + 14\varphi)$  представлено на рис. 1 кривой 3.

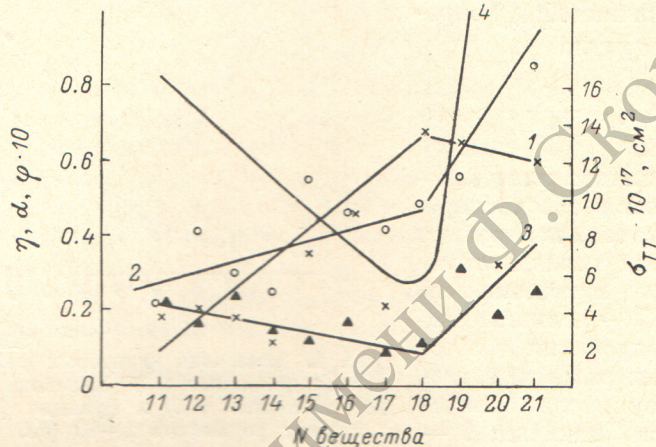


Рис. 2. Изменение квантовых выходов флуоресценции  $\eta$  (1), перехода в триплетное состояние  $\varphi$  (2), сечения  $T_1 \rightarrow T_n$  поглощения  $\sigma_{TT}$  (3) и функции

$$\alpha = \left\{ \left[ (1 - \gamma\eta) + \varphi \frac{\sigma_{TT}\tau_{\text{тр.}}}{\sigma_{\gamma c.}^3 \tau_0^3} \right] - 0.5 \right\}$$

(4) в ряду 3,6-производных НМФ (см. таблицу).

Для 3,6-производных НМФ наблюдаются значительные изменения всех величин, входящих в (3).

Значения  $\gamma$  были рассчитаны относительно соединения 3,6-диамино-NMF ( $\tau_0 = 25 \cdot 10^{-9}$  с;  $\sigma_{TT} = 2.9 \cdot 10^{-17}$  см<sup>2</sup>) в предположении об отсутствии  $S_1 \rightarrow S_n$ -поглощения и при учете изменения величины  $\gamma_{\text{фл.}}^{\max}$  и  $\Delta\gamma_{\text{фл.}}$ .

Изменения величины  $\alpha = \left\{ \left[ (1 - \gamma\eta) + \varphi \frac{\sigma_{TT}\tau_{\text{тр.}}}{\sigma_{\gamma c.}^3 \tau_0^3} \right] - 0.5 \right\}$  и входящих в нее параметров представлено на рис. 2 и в таблице. Из рис. 1 и 2 следует, что наименьшие значения величин  $(Q + 14\varphi)$  и  $\left[ (1 - \gamma\eta) + \varphi \frac{\sigma_{TT}\tau_{\text{тр.}}}{\sigma_{\gamma c.}^3 \tau_0^3} \right]$  и, следовательно, максимальные значения коэффициента усиления наблюдаются у соединений 5, 6, 7 (родаминовые красители) и 15-18 (3,6-производные НМФ).

Необходимо также отметить, что уменьшение величины  $\Delta K$  для веществ с более коротковолновым максимумом флуоресценции объясняется ростом  $T_1 \rightarrow T_n$ -поглощения, в то время как для длинноволновых веществ преимущественно увеличением роли внутренней конверсии.

Полученные результаты по изменению величины коэффициента усиления в ряду рассматриваемых красителей находятся в хорошем соответствии со сведениями, приведенными в работе [7] для родаминовых соединений и в [8, 9] для 3,6-производных НМФ.

Авторы благодарны И. И. Резниковой и Т. В. Веселовой за предоставление сведений о люминесцентных характеристиках 3,6-производных НМФ.

## Литература

- [1] А. В. Аристов, Ю. С. Маслюков. Опт. и спектр., 35, 1138, 1973.
- [2] J. B. Vigrks. Photophysics of aromatic molecules, 196. J. Wiley, London—New York—Sydney—Toronto, 1970.
- [3] В. Л. Пугачев, А. К. Чибисов. Опт. и спектр., 34, 497, 1973.
- [4] А. В. Аристов, Ю. С. Маслюков. Опт. и спектр., 41, 1975.
- [5] В. И. Кравченко, А. А. Смирнов, М. С. Соскин. ДАН СССР, 193, 69, 1970.
- [6] Е. Н. Викторова, И. А. Гофман. Ж. физ. хим., 39, 2643, 1965.
- [7] С. С. Ануфрик, В. А. Мостовников, А. Н. Рубинов, В. Ф. Воронин, Г. Р. Гиневич. В сб.: Квантовая электроника и лазерная спектроскопия, 5, Минск, 1974.
- [8] А. В. Аристов, Ю. С. Маслюков. Опт. и спектр., 32, 1244, 1972.
- [9] Т. Г. Станева. Ж. прикл. спектр., 20, 199, 1974.
- [10] И. И. Резникова, Т. В. Веселова. ЖОрХ, 6, 840, 1970.

Поступило в Редакцию 23 мая 1975 г.